

Processat Morfològic d'imatges

Menú

1. Imatges binàries

- Introducció
- Erosions i dilatacions
- Transformada de distància
- Opening i closing
- Dilatació condicional
- Reconstrucció
- Aplicacions
- Esquelets

Introducció

- La morfologia és una eina matemàtica que ens permet treballar amb estructures espaials. L'objectiu és l'anàlisi de les formes dels objectes
- Sorgeix a finals dels 70 (*Ecole des mines. Paris*)
- Es popularitza a partir de la publicació de:

J. Serra. *Image Analysis and Mathematical Morphology*.
Academic Press, 1982.

-Molt útil per a les aplicacions on la forma dels objectes és important.
P ex: inspecció industrial, ocrs, geologia, imatges biològiques microscòpiques...

- L'enfoc clàssic del processat d'imatges és proper al càlcul matemàtic (concepte de funció imatge, operadors lineals ...)
- L'enfoc morfològic es basa en àlgebra no lineal i treballa amb conjunts de punts, la seva forma i connectivitat.

Estructures de base

PROCESSAT LINEAL

Estructura bàsica: Espai Vectorial

Conjunt de vectors V i conjunt d'escalars K tals que:

- 1) V és un grup commutatiu
- 2) K és un cos
- 3) Existeix una llei de producte extern entre escalars i vectors

MORFOLOGIA MATEMÀTICA

Estructura bàsica: Reticle (lattice)

Conjunt L tal que:

- 1) L està dotat d'un ordenament parcial, és a dir una relació \leq amb:

$$A \leq A$$

$$A \leq B, B \leq A \Rightarrow A=B$$

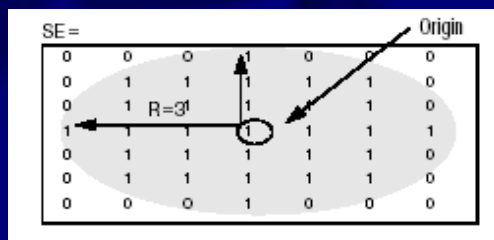
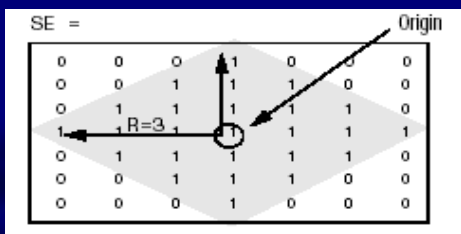
$$A \leq B, B \leq C \Rightarrow A \leq C$$

- 2) Per a cada família d'elements $\{x_i\} \subseteq L$, existeix en L :

Infim: La major fita inferior $\bigvee \{x_i\}$

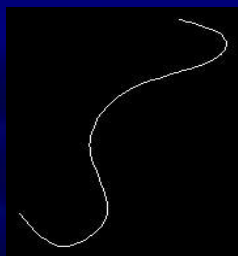
Suprem: La menor fita superior $\bigwedge \{x_i\}$

L'element estructurant



Dilatació

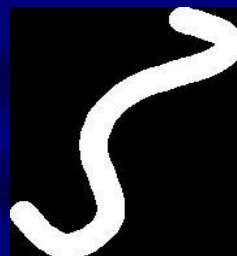
- Cal una imatge i un element estructurant



Imatge original



Element
estructurant



Imatge dilatada

Dilatació

$$1 \quad \delta_B(A) = \bigcup (B)_x, x \in A$$

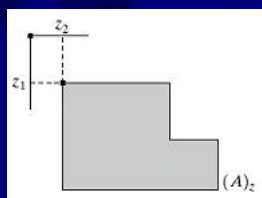
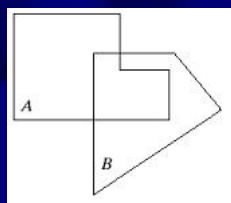
$$2 \quad \delta_B(A) = \bigcup (A)_x, x \in B$$

$$3 \quad \delta_B(A) = \{x \mid (\check{B})_x \cap A \neq \emptyset\}$$

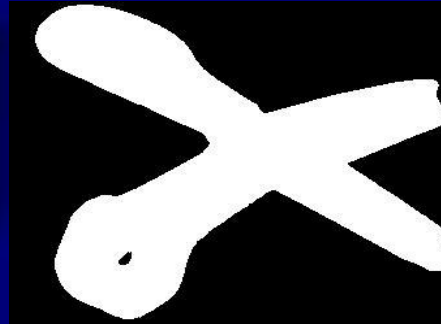
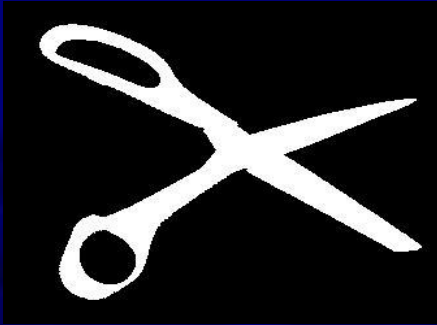
Traslació

$$f_b(x) = f(x - b)$$

El valor de la imatge traslladada en un píxel x , és igual al valor de la imatge original en la posició traslladada pel vector oposat



Dilatació



Dilatació



EE



Erosió

- Cal una imatge i un element estructurant



Imatge original

●
EE

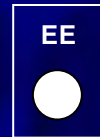
Imatge erosionada

Erosió

$$1 \quad \varepsilon_B(f) = \nu(\delta_{\check{B}}(\nu(f)))$$

$$2 \quad \varepsilon_B(A) = \{x \mid (B)_x \subseteq A\}$$

Erosió



Propietats d'erosió i dilatació

- Són duals una respecte de l'altra

$$\varepsilon_B = C \delta_B C$$

- Són creixents

$$f \leq g \iff \begin{cases} \varepsilon(f) \leq \varepsilon(g) \\ \delta(f) \leq \delta(g) \end{cases}$$

- Composició

$$\begin{aligned} \delta_{B2} \delta_{B1} &= \delta_{(\delta_{B2} B1)} \\ \varepsilon_{B2} \varepsilon_{B1} &= \varepsilon_{(\varepsilon_{B2} B1)} \end{aligned}$$

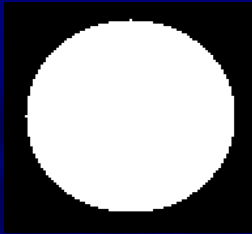
$$\delta_{nB} = \delta_B^{(n)}$$

- Relació d'ordre

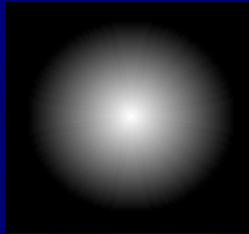
$$\varepsilon_B \leq \delta_B$$

Transformada de distància

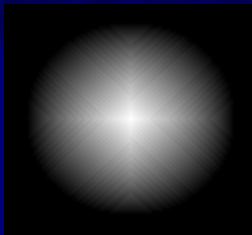
- El valor dels píxels de la imatge resultat representen la distància des del píxel fins a la vora de la forma connexa a la que pertany



Imatge original



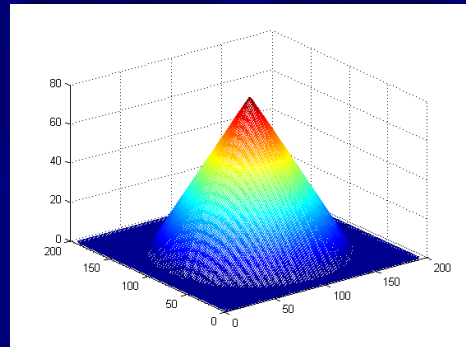
Mètrica euclídea



Mètrica C-8

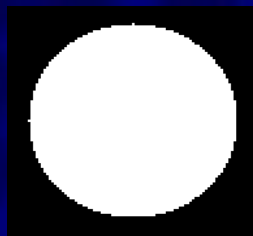


Mètrica C-4

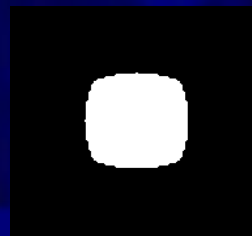


Transformada de distància

- Combinada amb l'operació 'threshold' emula una erosió.
- L'exemple mostra el resultat de binaritzar (llindar=41) la imatge distància (mètrica C-4). És equivalent a erosionar amb un EE C-4 de radi 41



Imatge original



Imatge resultat

Opening

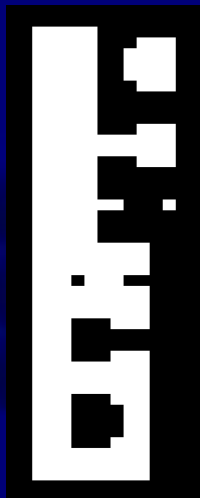
- Es pot expressar com la composició d'una erosió seguida d'una dilatació.

$$\gamma_B(f) = \delta_B \circ \varepsilon_B(f)$$

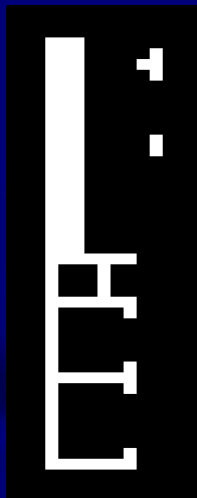
- O també directament a base d'operacions de conjunts:

$$\gamma_B(X) = \bigcup_X B_X \mid B_X \subseteq X$$

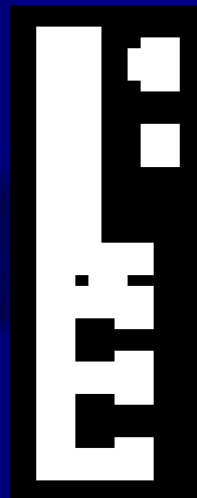
Opening



Imatge original



Imatge erosionada (EE
3x3 quad.)



Imatge oberta
(erode+dilate)

Opening

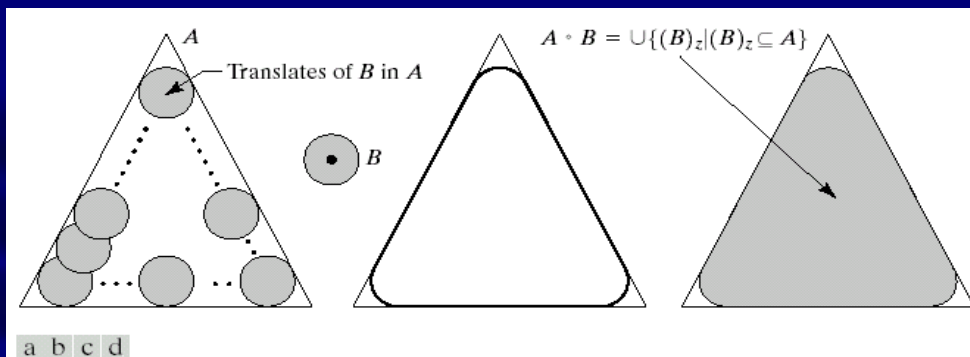


FIGURE 9.8 (a) Structuring element B "rolling" along the inner boundary of A (the dot indicates the origin of B). (c) The heavy line is the outer boundary of the opening. (d) Complete opening (shaded).

Closing

- Es pot expressar com la composició d'una dilatació seguida d'una erosió.

$$\phi_B(f) = \varepsilon_B \circ \delta_B(f)$$

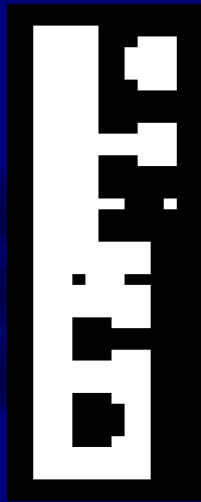
- O bé:

$$\phi_B(X) = \bigcap_x B_x^c \mid X \subseteq B_x^c$$

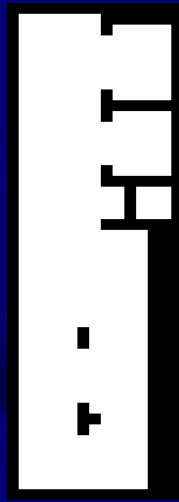
- O bé (dualitat amb l'open):

$$\phi_B(X) = \left[\bigcup_x B_x \mid B_x \subseteq X^c \right]^c$$

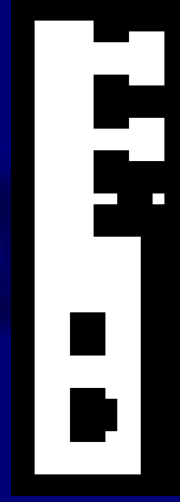
Closing



Imatge original

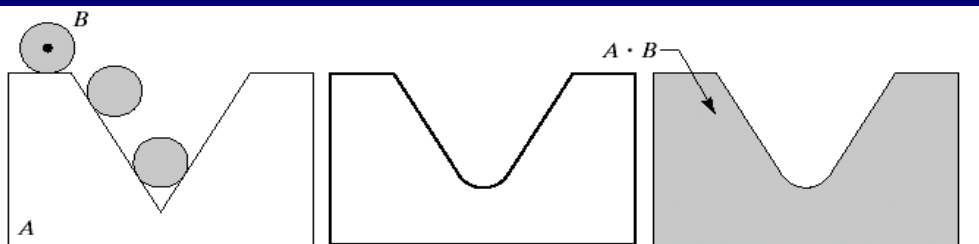


Imatge dilatada (EE
3x3 quad.)



Imatge tancada
(dilate+erode)

Closing



a b c

FIGURE 9.9 (a) Structuring element B “rolling” on the outer boundary of set A . (b) Heavy line is the outer boundary of the closing. (c) Complete closing (shaded).

Propietats de l'open i el close

- Invariants a la translació del EE

- Idempotència $\gamma\gamma = \gamma; \phi\phi = \phi$

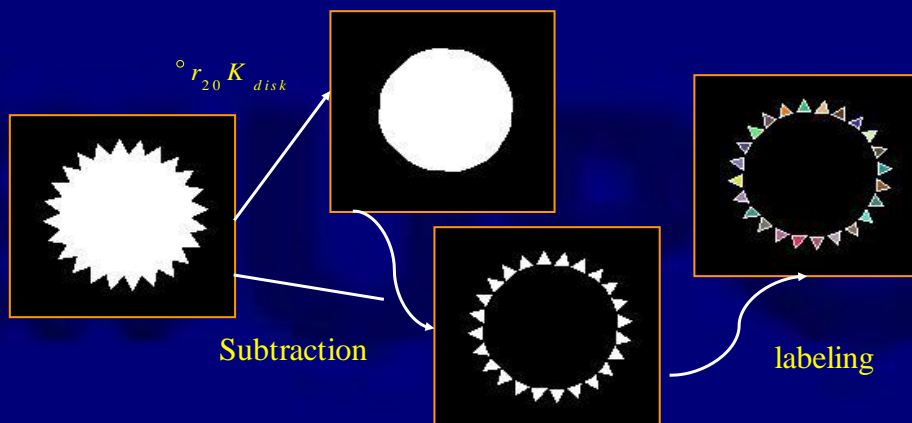
- Dualitat $\gamma_B = C \phi_B C$

- l'open és anti-extensiu i el close és extensiu $\gamma_B \leq id \leq \phi_B$

- Operadors creixents

$$f \leq g \Rightarrow \begin{cases} \gamma(f) \leq \gamma(g) \\ \phi(f) \leq \phi(g) \end{cases}$$

Deteció de les dents

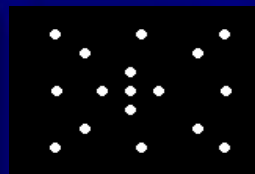


Dilatació condicional

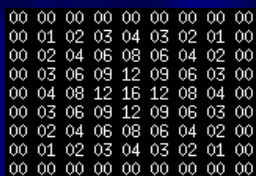
- Cal una imatge d'entrada (markers), una imatge condicionant i el EE
- El resultat ve donat per la intersecció entre la imatge d'entrada dilatada amb la imatge condicionant



Im. markers



Im. dilatada



Im. condició



Im. resultat

Reconstrucció

- Cal una imatge d'entrada, una imatge de marques i el EE
- Es van aplicant dilatacions condicionals fins arribar a una imatge estable.

$$\begin{aligned}
 \delta_{B_c, G}(F) &= \delta_{B_c}(F) \wedge G \\
 \delta_{B_c, G}^n(F) &= \underbrace{\delta_{B_c, G}(\delta_{B_c, G}(\cdots \delta_{B_c, G}(f \wedge g)))}_n \\
 \gamma_{B_c, F}(G) &= \delta_{B_c, G}^\infty(F)
 \end{aligned}$$

Reconstrucció

```
00 00 00 00 00 00 00 00 00
00 01 02 03 04 03 02 01 00
00 02 04 06 08 06 04 02 00
00 03 06 09 12 09 06 03 00
00 04 08 12 16 12 08 04 00
00 03 06 09 12 09 06 03 00
00 02 04 06 08 06 04 02 00
00 01 02 03 04 03 02 01 00
00 00 00 00 00 00 00 00 00
```

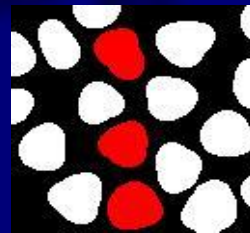
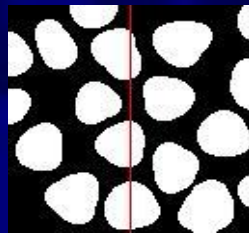
Im. original



Im. marques

```
1   4   4   1
  4   1   1   4
    1   1   1
  4   1   1   4
    1   1   1
  4   1   1   4
  4   1   1   4
  1   4   4   1
```

Im. resultat



Exemple: tancament de forats



Im. original

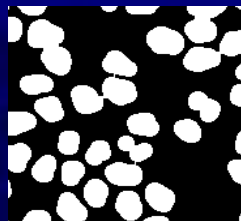


Im. marques



Im. resultat

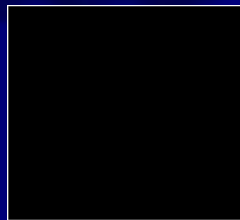
Exemple: eliminació d'objectes a les vores



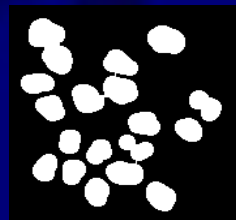
Im. original



Reconstrucció



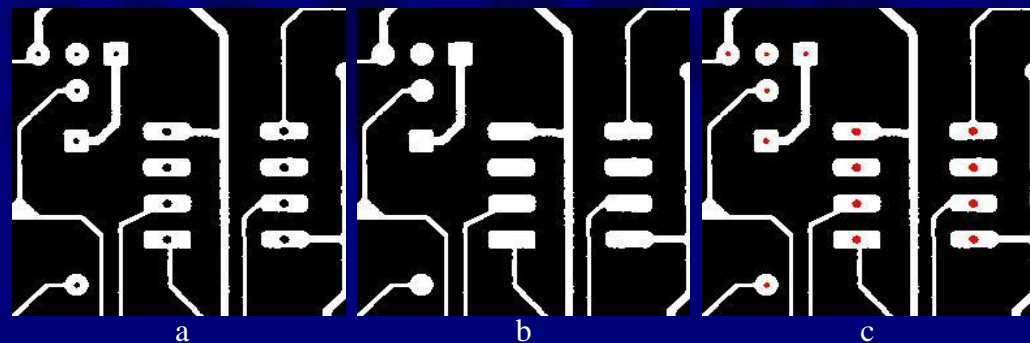
Im. marques



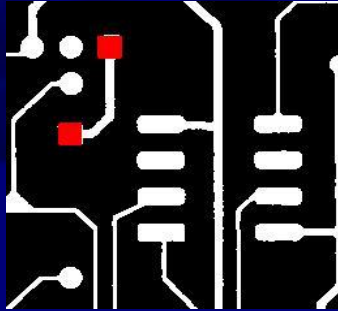
Im. resultat

Aplicacions

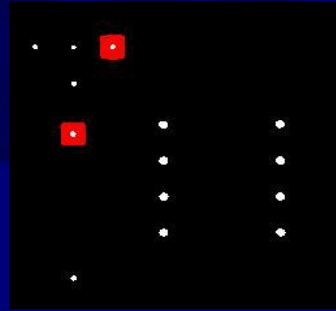
Extracció de les diferents parts d'un circuit imprès



Aplicacions

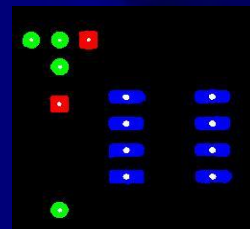
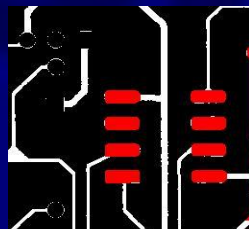
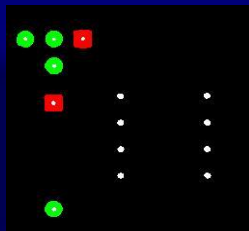
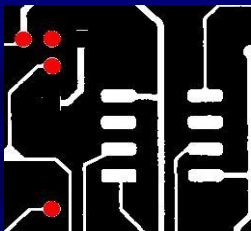


d

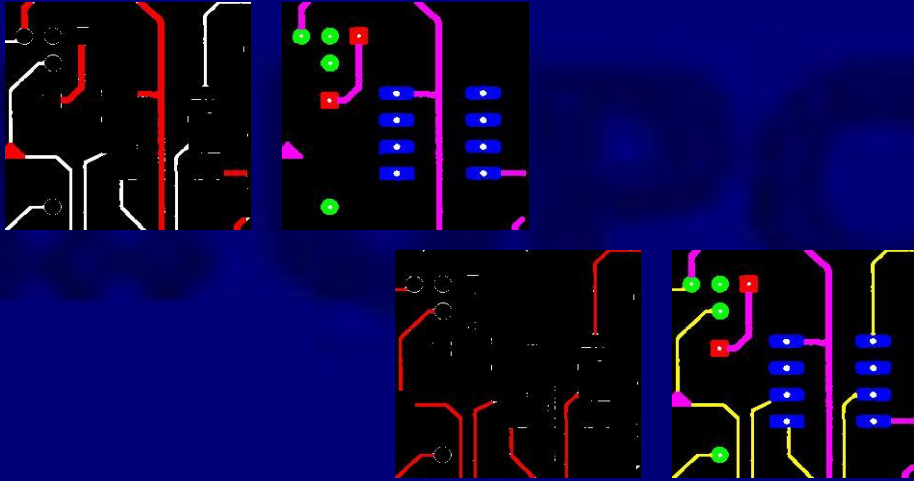


e

Aplicacions

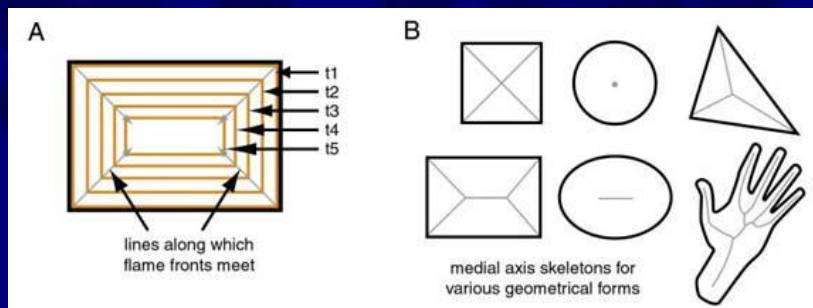


Aplicacions



Esquelets

- Consisteix en afinar l'objecte fins a obtenir un conjunt de línies, preservant la homotopia.
- Les línies resultants són l'esquelet o 'medial axis'
- Transformació idempotent, anti-extensiva i no creixent.
- L'analogia 'grassfire':



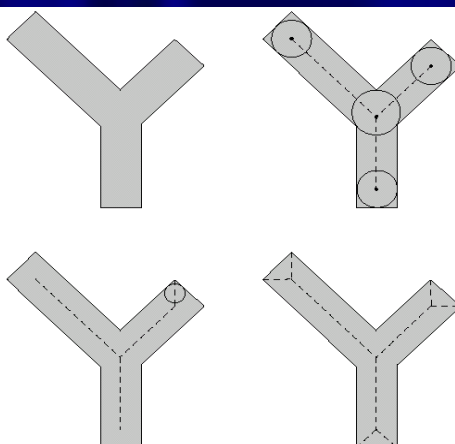
Esquelets

- Maximal disks

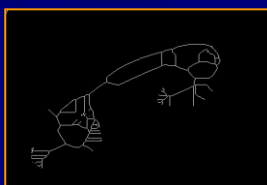
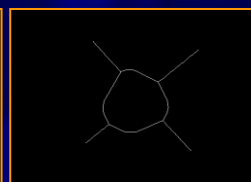
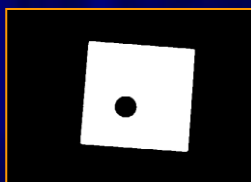
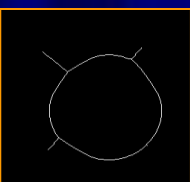
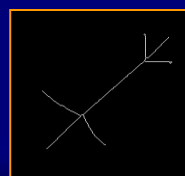
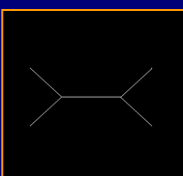
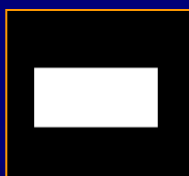


a b
c d

FIGURE 9.23
(a) Set A .
(b) Various positions of maximum disks with centers on the skeleton of A .
(c) Another maximum disk on a different segment of the skeleton of A .
(d) Complete skeleton.

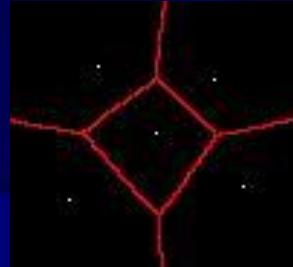
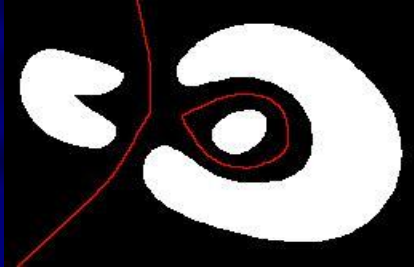


Esquelets. Sensibilitat a variacions del contorn



SKIZ

- Skeleton by Influence Zones
- Zona d'influència : Conjunt de píxels d'una imatge binària que estan més propers a una component connexa que a la resta
- SKIZ: Vores de les zones d'influència



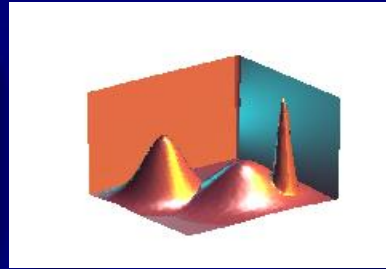
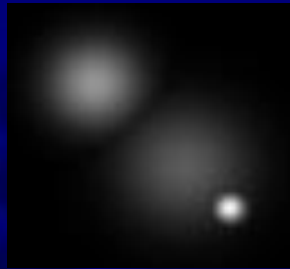
Menú

2. Imatges multinivell

- Extensió a imatges multinivell
- Operadors bàsics sobre imatges multinivell
- Residus
 - Gradient morfològic
 - top-hat
- Reconstrucció multinivell.
- Màxims i mínims regionals

Morfologia per a imatges multinivell

- És útil imaginar les imatges multinivell com models d'elevació del terreny. On el nivell de gris de cada píxel representa l'alçada.



- 2 models per extendre els operadors binaris per treballar amb imatges multinivell:
 - Descomposició per llindars
 - Umbra d'una funció

Descomposició per llindars

- Una imatge multinivell es pot descomposar en varies imatges binàries (*cross sections*) binaritzant-la a cada nivell de gris.
- La *cross section* de nivell 't' ve donada pel conjunt de tots els píxels de valor major o igual que 't'.
$$F(t) = \{x | f(x) \geq t\}$$
- La imatge es pot reconstruir a partir de les cross sections.

$$f(x) = \text{Max}\{t | x \in F(t)\}$$

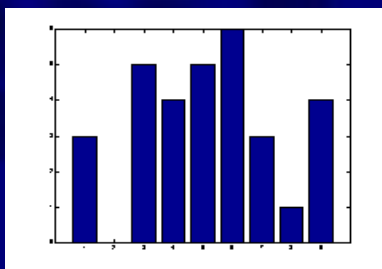


fig.a

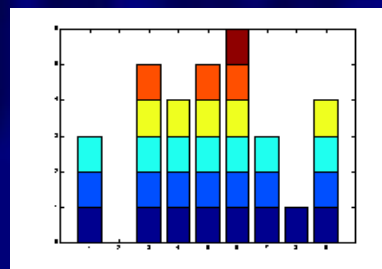
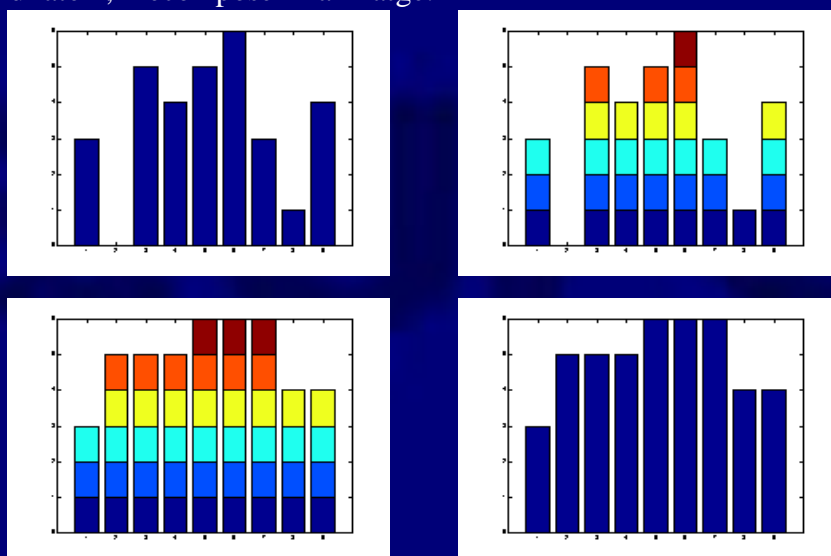


fig.b

Descomposició per llindars

- Per dilatar una imatge multinivell, la descomposem en cross sections, les dilatam, i recomposem la imatge.

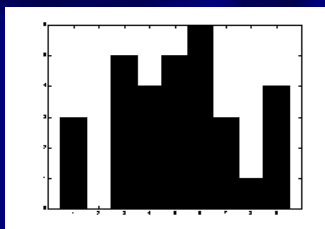


Umbra d'una funció

- La umbra d'una funció f , $SG(f)$ és el conjunt de punts (x,t) que queden per sota la funció. $SG(f) = \{(x,t) | 0 < t \leq f(x)\}$
- Per a recuperar la funció a partir de la umbra, busquem la top surface. El top d'un conjunt ve donat per:

$$T(A)(x) = \begin{cases} \max\{t | (x,t) \in A\} & \text{if } (x,t) \in A \\ 0 & \text{if } (x,t) \notin A \end{cases}$$

- Cal afegir una dimensió més a la funció per a convertir-la en un conjunt. La figura ens mostra un senyal 1D representat com a imatge binària 2D

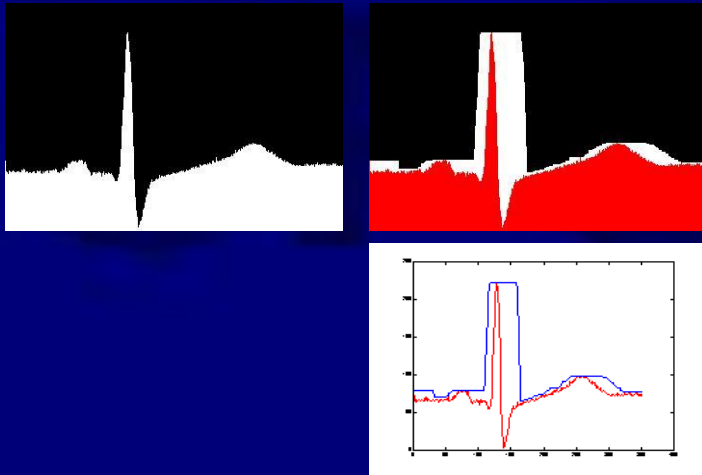


Umbra d'una funció

- El dilate de la imatge multinivell és el top del dilate binari de la seva umbra.

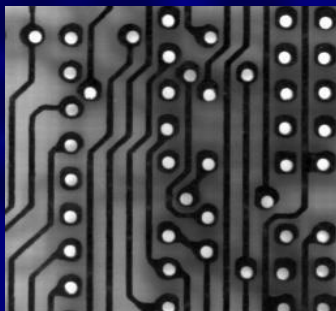
$$\delta_B(f) = T(\delta_B(SG(f)))$$

- Representem la umbra d'un senyal ECG com imatge binària. El dilatem. Obtenim el top i el representem en un plot junt amb el senyal original:



Dilatació multinivell

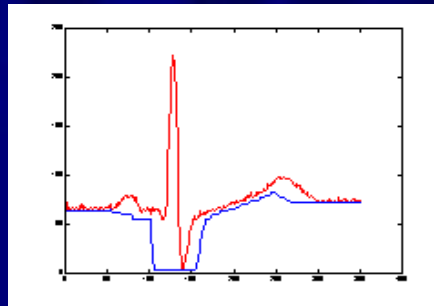
$$\delta_B(f)(x) = \max\{f(y) : y \in (\tilde{B} + x)\}$$



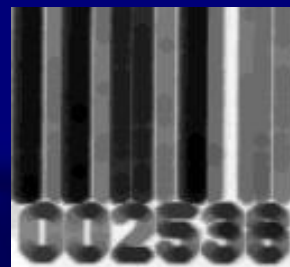
Erosió multinivell

$$\varepsilon_B(f)(x) = \min\{f(y) : y \in (B + x)\}$$

- La imatge mostra el resultat de erosionar un senyal 1D usant un EE asimètric.

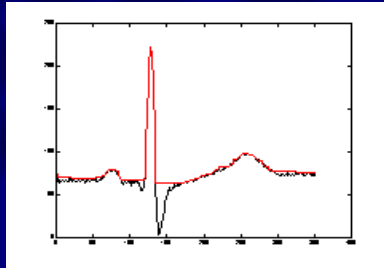


Erosió multinivell

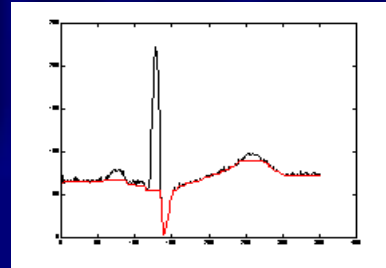


Open i Close multinivell

- Es construeixen òbviament a partir del dilate i erode.
- Les imatges mostren el resultat de obrir i tancar un senyal 1D usant un EE de mida 30

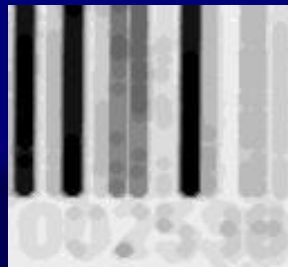


close



open

Open i Close multinivell



close



open



Aplicacions de l'opening

Filtrat de soroll impulsional

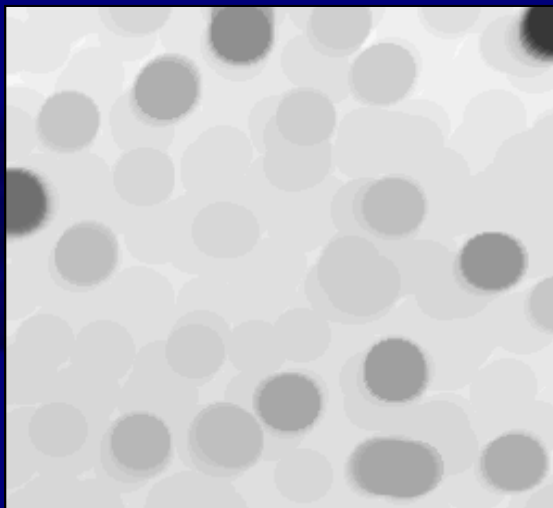
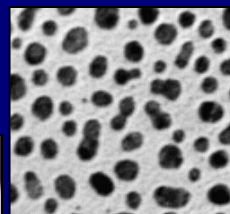


Aplicacions de l'opening

Filtrat de soroll impulsional amb operador gaussià



Closing multinivell



Residus

- És la part de la imatge que ha estat eliminada al filtrar.
- Diferenciem dos grups: gradient morfològic i top-hat.

- Gradient morfològic:

- intern (imatge – erosió)
- extern (dilatació – imatge)
- tos dos (dilatació – erosió)
- Laplacià (gradient extern – gradient intern)

$$\rho_B = \delta_B - \varepsilon_B$$

- Top hat:

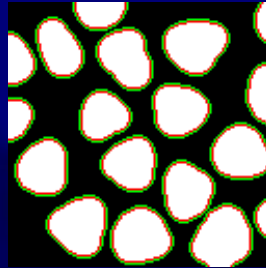
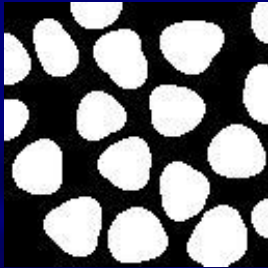
- open top-hat (imatge – opening)
- close top-hat (closing – imatge)

$$WTH(f) = f - \gamma(f)$$

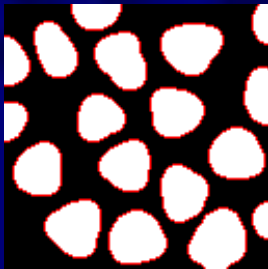
$$BTH(f) = \phi(f) - f$$

Extracció de contorns

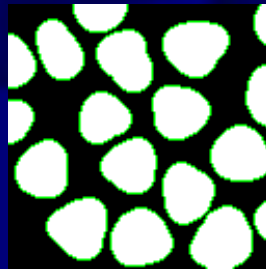
- Usarem el gradient morfològic



doble



intern



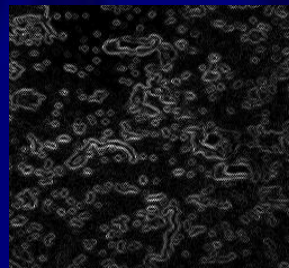
extern

Extracció de contorns

- La mida del EE determina el gruix del contorn

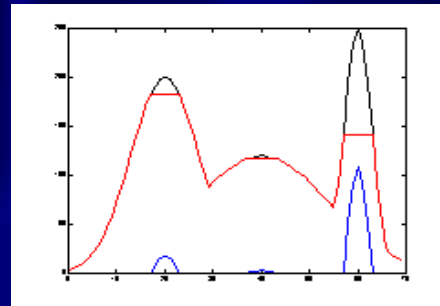
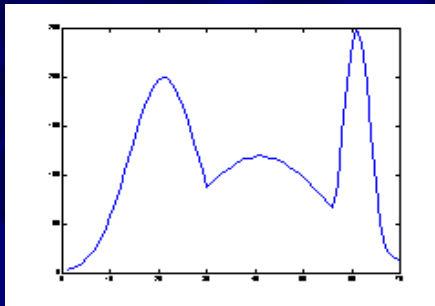


- Podem extreure gradients d'imatges multinivell:



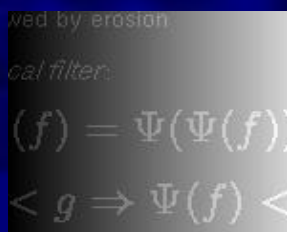
Open top-hat

- Detectem pics més estrets que el EE.



Open top-hat

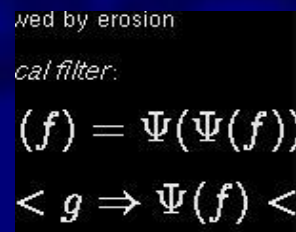
- La imatge original està corrompuda amb il·luminació no uniforme.
- Recuperem la imatge original amb un top-hat.
- Cal fer l'opening usant un EE més gruixut que les estructures de la imatge original



Original



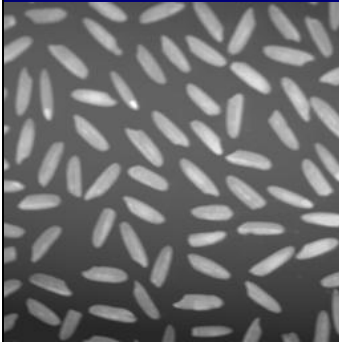
Open



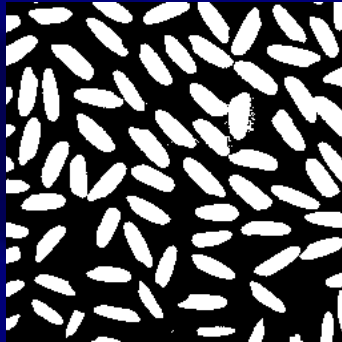
Top-hat

Open top-hat

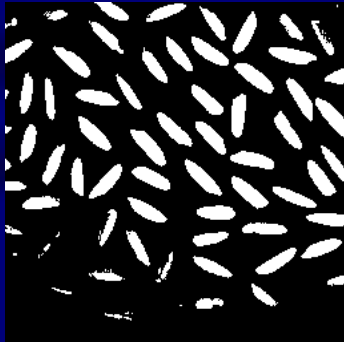
- Volem segmentar els grans d'arròs
- La imatge està corrompuda amb il·luminació no uniforme.



Original



binarització al 40%

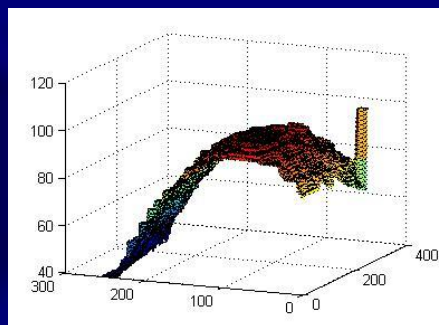


binarització al 60%

Open top-hat

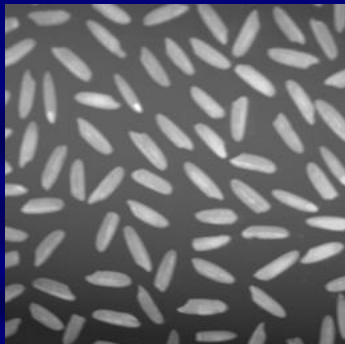


Opening

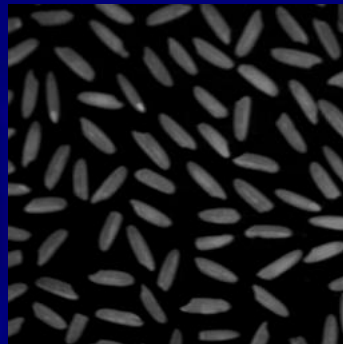


Representació 3D

Open top-hat

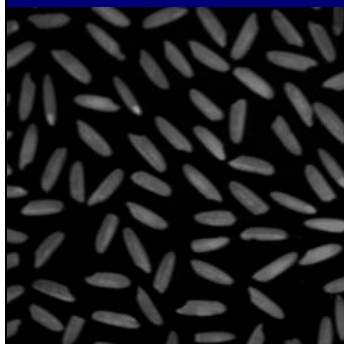


Original

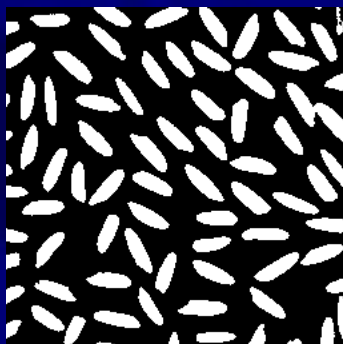


top hat

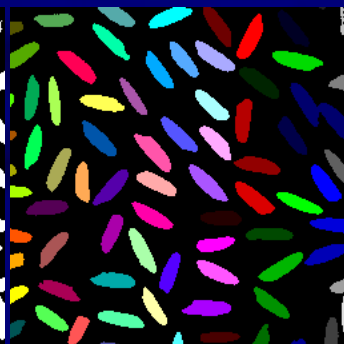
Open top-hat



top hat



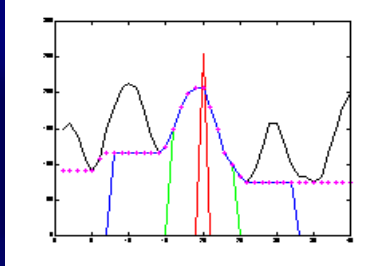
binarització al 16%



imatge etiquetada

Reconstrucció multinivell

- Es defineix igual que la binària: seqüència infinita de dilatacions del marker condicionades a la imatge original



-Reconstrucció per dilatació:

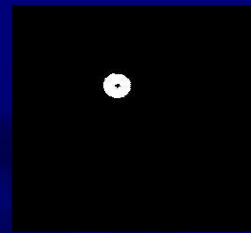
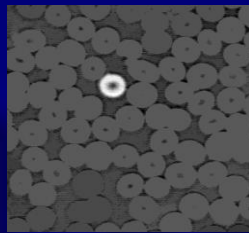
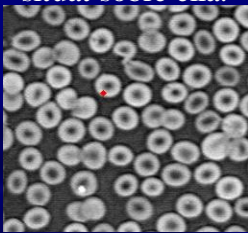
$$R_g^\delta(f) = \delta_g^\infty(f)$$

-Reconstrucció per erosió:

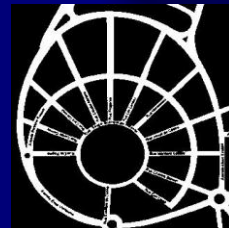
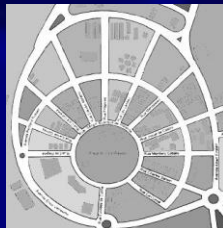
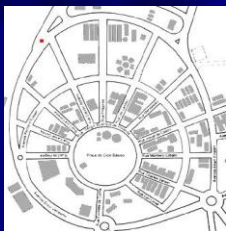
$$R_g^\varepsilon(f) = \varepsilon_g^\infty(f)$$

Reconstrucció multinivell

- Segmentem una única cel.lula a partir d'un pixel de valor 255 (marker) situat sobre ella.

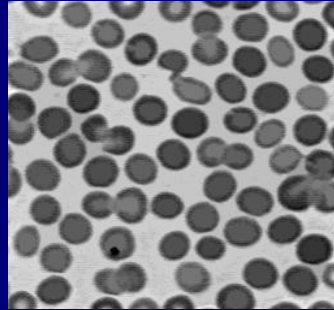
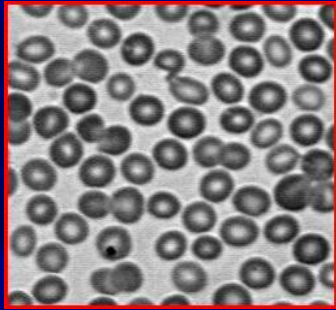


- Segmentem els carrers del mapa situant el marker sobre un dels carrers



Exemple: eliminació de regions aïllades

- Eliminem el centre de les cel·lules de la imatge
- Creem un marc de imatge de valor 255 (marker)



Màxims i mínims regionals

Un màxim (mínim) regional és una regió connexa on tots els píxels veïns tenen un valor estrictament menor (major).

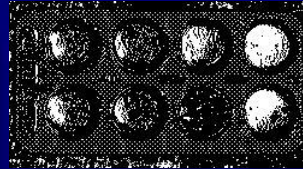


Màxims i mínims regionals

Un màxim (mínim) regional és una regió connexa on tots els píxels veïns tenen un valor estrictament menor (major).



Original



Extrems regionals

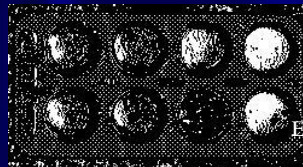
- Les imatges reals tenen masses màxims i mínims regionals.
- Cal filtrar per a reduir el nombre de màxims i mínims.
- Els extrems regionals trobats solen ser bons markers per al watershed.

Màxims i mínims regionals

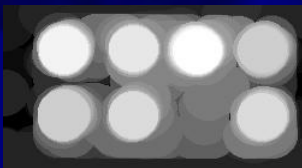
- Les tècniques de filtratge es basen en:
 - contrast: $h\text{-max}$, $h\text{-min}$
 - forma: Opening
 - mida: AreaOpening



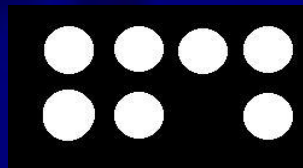
Original



Extrems regionals



Opening



Extrems regionals
de la imatge
filtrada

